

Ю. А. ТАРАН

ИЗУЧЕНИЕ ДИНАМИКИ ПОЛИМЕРНЫХ ЦЕПЕЙ МЕТОДОМ  
МОНТЕ-КАРЛО

(Представлено академиком В. А. Каргиным 20 VIII 1969)

Вердье и Штокмайер (1, 2) предложили метод моделирования на ЭВМ микроброуновского движения изолированной полимерной цепи. Макромолекула задавалась произвольной непересекающейся ломаной на простой кубической решетке, и ее движение осуществлялось за счет последовательного набора поворотов двух случайно выбранных связанных звеньев цепи в соответствии с решеткой. Авторы получили равновесное распределение и временные корреляционные функции для квадрата расстояния между концами цепи  $h_N^2$ , для числа звеньев цепи  $N$  от 8 до 64.

Интересно рассмотреть влияние типа решетки на поведение корреляционных функций для подобного механизма движения, а также получить временные автокорреляционные функции для других, зависящих от координат характеристик цепи. В связи с этим был проведен расчет корреляционных функций для  $h_N^2$ , а также для  $x$ -компонент  $h_N$  вектора отдельного звена  $a$  и вектора, соединяющего концы связанной группы из шести звеньев  $b$ . Такой выбор обусловлен связью  $h_{Nx}$  и  $a_x$  соответственно с механической и диэлектрической релаксациями в полимерах.

Обозначим  $a_i$  — вектор  $i$ -го звена и  $r_i$  — радиус-вектор  $i$ -го узла цепи, так что  $r_i = r_{i-1} + a_{i-1}$  ( $0 \leq i \leq N - 1$ ). Начальным состоянием является произвольная непересекающаяся ломаная на тетраэдрической решетке, которая может быть реализована на ЭВМ с помощью одного из методов, описанных, например в работах (3, 4). Любую конфигурацию цепи можно определить набором  $(a_0 a_1 \dots a_{N-2})$ , в котором каждые  $a_i$  и  $a_{i+1}$  принадлежат двум различным классам векторов решетки (нулевой узел исходной цепи лежит в начале координат):

$$\begin{aligned}\alpha &= (1 \ 1 \ 1), & -\alpha &= (-1 \ -1 \ -1), \\ \beta &= (-1 \ -1 \ 1), & -\beta &= (1 \ 1 \ -1), \\ \gamma &= (-1 \ 1 \ -1), & -\gamma &= (1 \ -1 \ 1), \\ \delta &= (1 \ -1 \ -1), & -\delta &= (-1 \ 1 \ 1).\end{aligned}\quad (1)$$

Ясно, что должно выполняться условие  $a_i \neq -a_{i+1}$ . Каждое последующее состояние задается предыдущим, а также случайнм выбором номера звена  $k$ . При этом конфигурация  $(a_0, a_1, \dots, a_{k-2}, a_{k-1}, a_k, \dots, a_{N-2})$  переходит в конфигурацию  $(a_0, a_1, \dots, a_k, a_{k-1}, a_{k-2}, a_{N-2})$ . Перестановка  $a_{k-2}$  и  $a_k$  в последовательности  $\{a_i\}$  соответствует «повороту» случайно выбранной группы из трех связанных звеньев вокруг прямой, проходящей через ее концы в соответствии с решеткой (рис. 1). Для цепи на простой кубической решетке число звеньев, участвующих в элементарном движении, равно двум, и «поворот» осуществляется перестановкой двух соседних звеньев  $a_{k-1}$  и  $a_k$  в последовательности. Новое состояние совпадает с исходным, если  $a_{k-2} = a_k$  (транс-участок), а также, когда в результате перестановки звеньев происходит самопересечение цепи (исключенный объем).

Реализация на ЭВМ последовательности состояний  $\{a_i\}_t$  позволяет получить средние значения зависящих от координат характеристик цепи.

Искомые характеристики пересчитывались так же, как в работах (1, 2), после  $N^3 / 256$  «циклов», и равновесные их значения находились усреднением по всему полученному набору. Найденная таким образом зависимость  $\langle h_N^2 \rangle$  от  $N$  в исследуемом интервале  $N$  представлена на рис. 2. Здесь же приведены данные, взятые для сравнения из работы (3).

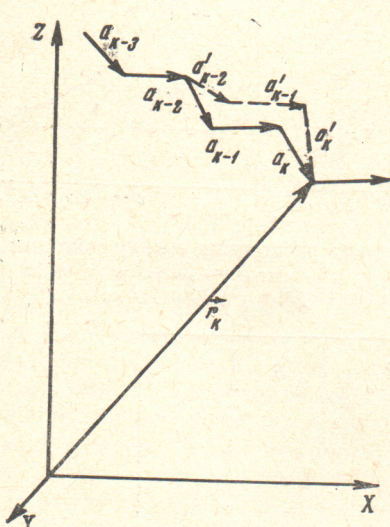


Рис. 1

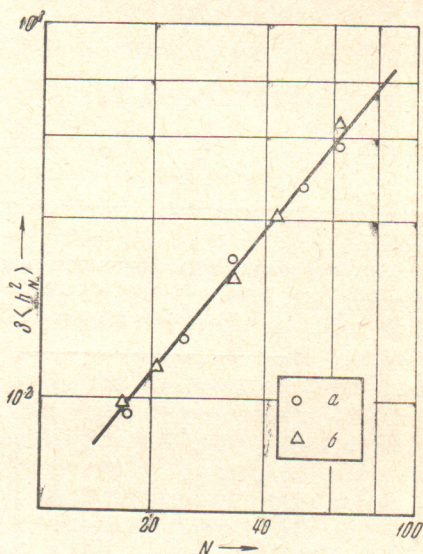


Рис. 2

Рис. 2. а — зависимость  $\lg 3 \langle h^2 \rangle$  от  $\lg N$ ; б — данные, взятые для сравнения из работы (3)

Автокорреляционные функции для  $h_N^2$ ,  $h_{Nx}$ ,  $a_x$  и  $b_x$  получены как функции от времени в форме

$$f(q_0, q, t) = \frac{\langle q_0 q_t \rangle - \langle q \rangle^2}{\langle q^2 \rangle - \langle q \rangle^2}. \quad (2)$$

Пусть число реализаций величины  $q$ , зависящей от координат цепи, равно  $T$ . Напомним, что каждая реализация получена после  $N^3 / 256$  циклов. Разобьем последовательность  $T$  реализаций на  $\theta$  одинаковых интервалов  $T_1, T_2, \dots, T_\theta$ . Если принять конечную реализацию  $q$  в интервале  $T_1$  начальной в интервале  $T_2$  и т. д., то можно записать

$$\langle q_0 q_t \rangle = \theta^{-1} \sum_{\tau=1}^{\theta} \langle q_{T_\tau} q_{T_\tau+t} \rangle, \quad (3)$$

где

$$\langle q_{T_\tau} q_{T_\tau+t} \rangle = (T_\tau - t)^{-1} \sum_{j=0}^{T_\tau-t} q_j q_{j+t}, \quad t = 0, 1, \dots, T_\tau - 1. \quad (4)$$

Выражение (4) является, очевидно, следствием стационарности процесса.

Расчеты проводились на ЭВМ БЭСМ-6 для  $N = 16, 32$  и  $64$ . Интервал  $T_\tau$  содержал  $4N^3$  циклов для  $N = 64$  и  $32N^3$  — для  $N = 16$  и  $32$ . Число интервалов  $\theta$  менялось от  $40$  для  $N = 64$  до  $100$  для  $N = 16$ . Найденные функции корреляции представлены на рис. 3 и 4 в координатах  $f — \lg t$ , где  $t$  соответствует числу реализаций, каждая из которых содержит  $N^3 / 256$  циклов.

В указанном на рис. 3 и 4 интервале  $t$  число реализаций, по которому усреднялись корреляционные функции, меняется от  $\theta T_\tau$  для  $t$ , равного единице, до  $\theta(T_\tau - 255)$  для  $t$ , равного  $256$ . На рис. 3 для сравнения при-

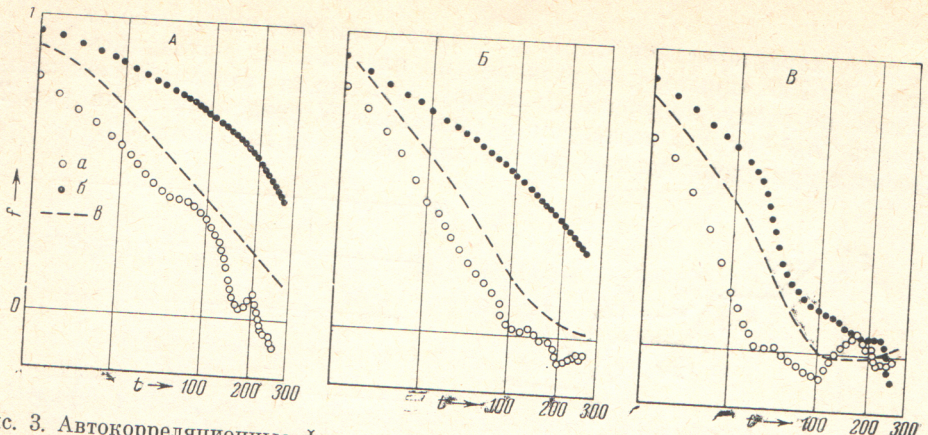


Рис. 3. Автокорреляционные функции для квадрата расстояния между концами  $h_N^2$  и проекции  $h_{N_0}^2$  в зависимости от  $\lg t$ . А —  $N = 64$ , Б —  $N = 32$ , В —  $N = 16$  (а —  $f(h_{N_0}^2, h_N^2, t)$ , б —  $f(h_{N_0}, h_N, t)$ , в — данные Вердье (2) для  $f(h_{N_0}^2, h_N^2, t)$ )

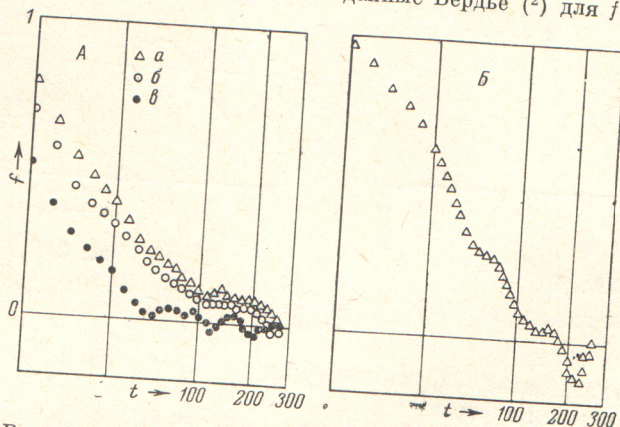


Рис. 4. Автокорреляционные функции для  $a_x$  и  $b_x$  в зависимости от  $\lg t$ . А —  $f(a_{x_0}, a_x, t)$ , Б —  $f(b_{x_0}, b_x, t)$ . а —  $N = 16$ , б —  $32$ , в —  $64$

ведены данные Вердье (2), найденные для  $f(h_{N_0}^2, h_N^2, t)$  усреднением с  $\theta = 10$ .

Общий характер зависимости найденных функций корреляции от времени отличается от результатов Вердье. Различие в начальных наклонах, вероятно, свидетельствует о зависимости времен корреляции от механизма движения, связанного в свою очередь с типом решетки. В элементарном движении на тетраэдрической решетке участвует группа из трех звеньев вместо двух на простой кубической. Основным отличием является немонотонное затухание найденных автокорреляционных функций. Осцилляции сглаживаются с ростом длины цепи. Интересно, что функции, найденные Вердье, несмотря на то, что число интервалов  $\theta$ , по которому они усреднялись, не превышало 10, стремятся к нулю монотонно, во всяком случае, в указанном на рис. 3, 4 интервале  $t$ . Возможно, это связано со способом усреднения.

Автор благодарит Т. Н. Хазановича за критические замечания и обсуждение работы.

Московский государственный университет  
им. М. В. Ломоносова

Поступило  
13 VIII 1969

#### ЦИТИРОВАННАЯ ЛИТЕРАТУРА

- <sup>1</sup> P. H. Verdier, W. H. Stockmayer, J. Chem. Phys., **36**, 227 (1962).
- <sup>2</sup> P. H. Verdier, J. Chem. Phys., **45**, 2118 (1966). <sup>3</sup> F. T. Wall, S. Windwer, P. J. Gans, Methods in Computational Physics, N. Y., 1963. <sup>4</sup> M. N. Rosenbluth, A. W. Rosenbluth, J. Chem. Phys., **23**, 356 (1955).